## 论著

# 脊柱结核与脊柱炎 的MRI影像鉴别价值 研究\*

新乡医学院第一附属医院骨外科 (河南 新乡 453100)

张超路坦

【摘要】目的 研究脊柱结核与脊柱炎的 MRI影像鉴别价值。方法 将我院2009年 5月至2014年7月收治的40例脊柱结核患 者、34例布鲁杆菌脊柱炎患者纳入研究范 围。对其一般资料与病历资料行回顾性分 析。由两位经验丰富的影像诊断医师共同 比较两组MRI影像表现与病变特征。结果 40例脊柱结核患者中,35例表现为腰椎病 变, 27例前侧椎体破坏, 16例呈椎间盘弥 散性破坏,24例出现重度椎间隙狭窄,另 有9例出现椎旁脓肿。34例布鲁杆菌脊柱 炎患者中,28例为腰椎病变,椎体后侧破 坏20例,31例伴随骨质增生,15例为椎间 盘局部性破坏。 结论 脊柱结核与布鲁杆 菌脊柱炎的MRI表现有一定差异性,临床 可根据二者影像学特征, 结合实验室检查 等手段准确鉴别。

【关键词】脊柱结核;脊柱炎; MRI 【中图分类号】R681.5

【文献标识码】A

【基金项目】河南省医学科技攻关计划项目(豫卫科201304029)

**DOI:** 10.3969/j.issn.1672-5131.2016.07.038

通讯作者:张 超

# Study on the Value of MRI in Differential Diagnosis of Spinal Tuberculosis and Spondylitis\*

ZHANG Chao, LU Tan. Department of Orthopeadic Surgery, the First Affiliated Hospital of Xinxiang Medical University, Xinxiang 453100, China

[Abstract] Objective To study the value of MRI in the differential diagnosis of spinal tuberculosis and spondylitis. *Methods* 40 cases of patients with spinal tuberculosis and 34 cases with Brucella spondylitis who were treated in our hospital between May 2009 and July 2014 were enrolled in the study. The general data and medical records were retrospectively analyzed. The MRI findings and pathological features were compared by two experienced imaging diagnostic physicians between the two groups. *Results* In 40 cases with spinal tuberculosis, 35 cases manifested as lumbar diseases, 27 cases as anterior vertebral destruction, 16 cases as intervertebral disc diffuse destruction, 24 cases as severe intervertebral space stenosis, and another 9 cases as paravertebral abscess. Among 34 cases with Brucella spondylitis, 28 cases were with lumbar diseases, 20 cases with posterior vertebral destruction, 31 cases with hyperplasia and 15 cases with local intervertebral disc destruction. *Conclusion* The MRI findings of spinal tuberculosis and Brucella spondylitis are different. In clinic, accurate differential diagnosis can be made according to their imaging findings, combined with the laboratory examination and other means.

[Key words] Spinal Tuberculosis; Spondylitis; MRI

脊柱结核又称结核性脊柱炎,是最常见的脊椎感染性病变,可占所有骨与关节结核的50%<sup>[1]</sup>。临床诊断以影像学手段为主,其症状典型,可用MRI准确诊断。布鲁氏菌性脊柱炎是一种由布鲁氏杆菌引起的椎间盘化脓炎症,可人畜之间相互传染,危险性高且发病率仍在逐年上升<sup>[2]</sup>。但布鲁杆菌脊柱炎的病变特征、影像学表现与脊柱结核存在诸多相似之处,临床极易造成误诊,是实际诊断中的难点。因此,熟悉两种疾病的影像学特征对提高布鲁杆菌脊柱炎早期检出率有重要意义。在此基础上,本文对两种病变患者的MRI图像进行分析,旨在进一步明确两种影像学差异,探讨MRI对二者鉴别价值,现报告如下。

#### 1 资料与方法

1.1 一般资料 将我院2009年5月至2014年7月收治的40例脊柱结核患者、34例布鲁杆菌脊柱炎患者纳入研究范围。对其一般资料与病历资料行回顾性分析。其中脊柱结核组包括男22例,女18例,年龄21~68岁,平均年龄(49.33±15.87)岁,单发病变4理,多发病变36例,均经术后病理活检或实验室检查证实;布鲁杆菌脊柱炎组男19例,女15例,年龄22~71岁,平均年龄(51.16±16.43)岁,均有明确牛、羊接触史,有间断发热现象,部分患者伴腰痛、下肢麻木或疼痛,均经病理学检查或布鲁杆菌抗体阳性检查确诊。排除标准:已有病变部位手术史、活检史患者,有诱发性因素疾病如糖尿病、慢性肾衰竭患者。两组患者的性别、年龄差异不具统计学意义(P>0.05)。所有研究对象均采用MRI作初步诊断,后经活检或实验室检查确诊。本研究经院伦理委员会批准通过,研究对象自愿参与,均已签署知情同意书。

1.2 检查方法 采用GE Signa HD 1.5T MRI仪行影像学诊断。

患者取仰卧位,头部先进入,行对应阶段脊柱扫描。先行常规平扫,扫描序列包括横轴位、矢状位、冠状位和脂肪抑制。扫描参数:横轴面TSE T1WI(TR 3600ms, TE 120ms),矢状面T2WI(TR 3600ms, TE 10ms)、矢状面T2WI(TR 3600ms, TE 125ms)、STIR(TR 2200ms, TE 50ms,TI 150ms),冠状面FSE T2WI(TR 3300ms, TE 125ms),矢状位去脂T2WI(TR 3000ms, TE 110ms)。层厚5mm,层距1mm,矩阵256×256。

后进行增强扫描,静脉注射Gd-DTPA显影剂,剂量为0.1mmo1/kg,流速1.5mL/s,静推完毕后以生理盐水冲洗,行横轴位、矢状位与冠状位扫描。

1.3 **图像分析** 由我院影像 科两位经验丰富的诊断医师共同分析。自主勾画感兴趣区域 (ROI),记录病变部位椎体塌陷、椎体破坏、椎旁病变情况等影像 学表现,比较两组患者特征等 景。其中椎间盘破坏分为局限性,小于椎间盘高度二分之一数散性。椎间隙变窄分为轻度与重度,轻度表示狭窄小于三分之一椎间盘高度,大于三分之一

则为重度。

1.4 观察指标 统计两组病 变累及椎体节段、形态、椎体破 坏部位、椎旁软组织病变、椎间 盘病变情况,分析两组MRI图像与信号特征。

1.5 统计学方法 采用 SPSS15.0统计软件对所得数据 行统计学分析,计量资料采用 t 检验,计数资料采用 x <sup>2</sup>检验,P <0.05表示差异有统计学意义。

#### 2 结 果

2.1 两组MRI表现特征对比 脊柱结核组与布鲁杆菌脊柱炎组 间椎体破坏部位、椎间盘破坏特 点及椎间隙变窄程度均有显著差 异(P<0.05),见表1。

2.2 两组患者MRI影像分析 脊柱结核与布鲁杆菌脊柱炎患者 MRI图像见图1-8。脊柱结核患 者骨质增生不明显,40例患者中 17例椎体变形,以椎体前中部为 主。15例患者椎间盘内未见异常 信号,7例显示椎间盘正常结构破 坏而呈不规则型越过椎间盘边缘 的异常信号。布鲁杆菌脊柱炎骨 质增生性明显,本组34例中有31 例显示增生;12例显示正常形态 的椎间盘中央细条状T2WI高信号 影。

### 3 讨 论

脊柱感染性病变的早期诊断与及时治疗对患者来说至关重要,尽管布鲁氏杆菌性脊柱炎与脊柱结核在影像学表现方面定难的之处,临床鉴别有一定难度。但对二者MRI特点进行对比分析,仍可观察到两种疾病存在某些差异,这对提高二者鉴别准确率十分重要。本研究经统计分析布鲁杆菌脊柱炎与脊柱结核的MRI影像特征,总结两种疾病影像学表现,旨在提高疾病认识,为临床诊断提供更多参考。

3.1 脊柱结核 脊柱结核为脊柱感染性病变中最常见的类型,好发于青年人,近年来也逐渐见于老年人群。脊柱结核属于一种继发性结核病,通常可由肺结核发展引起,起病症状为非特异性炎症反应,但伴随疾病发展会逐渐出现结核性肉芽增生,形成结核结节病最终坏死,脓肿破溃后向周围组织蔓延<sup>[3]</sup>。

典型的脊柱结核病变通常累 及临近椎体,造成骨质破坏。 常见椎旁脓肿和椎间隙狭窄。 有组研究数据显示,脊柱结肿, 60.00%的患者有椎旁脓肿 60.00%的患者为重度椎间等 常呈低信号,而在T2WI上呈现 常呈低信号,而在T2WI上呈现显常 常呈低信号,而在T2WI上呈现示 均匀强化,死骨较为多见,T1WI 低信号,对则为不均匀混杂, 性间隙狭窄和椎间盘破坏,T1WI 低信号,边界不清,且增强扫描完 信号,边界不清,且增强扫描发 的MRI特征有一定区别。

脊柱结核的椎旁脓肿比例较高,本组中显示9例出现椎旁脓肿,影像图片中脓肿范围不一,但边界清晰,增强扫描时可见环形强化。另在椎体破坏部位统计

表1 两组MRI表现特征对比[n(%)]

		脊柱结核组(n=40)	脊柱炎组(n=34)	$t/x^2$	P
病变部位	颈椎	2 (5.00)	0 (0.00)	1.663	>0.05
	胸椎	8 (20.00)	6 (17.65)	0.066	>0.05
	腰椎	35 (87.50)	28 (82.35)	0.385	>0.05
	骶椎	4 (10.00)	4 (11.76)	0.059	>0.05
侵犯椎体数		$2.41 \pm 0.58$	$2.37 \pm 0.65$	0.280	>0.05
椎体破坏部位	前侧	27 (67.50)	9 (26.47)	14.962	<0.05
	后侧	7 (17.50)	20 (58.82)		
	前侧+后侧	6 (15.00)	5 (14.71)		
脓肿部位	椎旁脓肿	9 (22.50)	3 (8.82)	2.530	>0.05
	硬膜外脓肿	† 5 (12.50)	2 (5.88)	0.940	>0.05
	腰大肌脓肿	<b>†</b> 6 (15.00)	1 (2.94)	3.120	>0.05
椎间盘破坏	局限	7 (17.50)	15 (44.12)	6.233	<0.05
	弥散	16 (40.00)	6 (17.65)	4.396	<0.05
椎间隙变窄	轻度	6 (15.00)	9 (26.47)	1.496	>0.05
	重度	24 (60.00)	10 (29.41)	6.924	<0.05

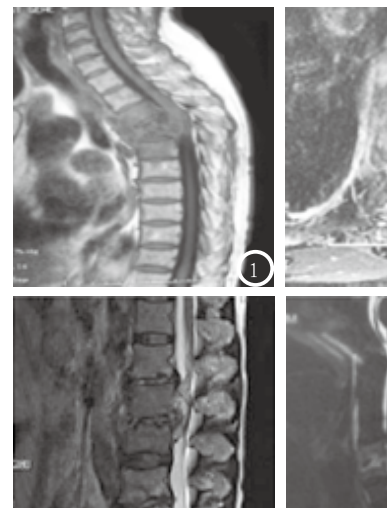
















图1-2 男,71岁,脊柱结核,C3-C5胸椎节段结核并脓 肿,图1为矢状面T2WI显示椎体后侧线性强化,图2为横 轴面T1WI, 椎旁广泛脓肿形成, 增强扫描脓肿囊壁环形 强化。图3-4 女,22岁,脊柱结核,椎间盘内可见高信 号影,硬膜外梭形高信号影。图5-6 男,57岁,布鲁杆 南脊柱炎, 腰椎间隙变窄, 边缘骨质增生, 椎间脓肿形 成。图7-8 女,54岁,布鲁杆菌脊柱炎,椎间隙破坏, 主题后方椎管内脓肿形成。

中显示, 脊柱结核组多为前侧破 坏,与布鲁杆菌脊柱炎组差异较 明显,为其特异性表现。

3.2 布鲁杆菌脊柱炎 布鲁 菌病俗称波浪热, 易在人畜共存 的地方发病, 具有地方性特点, 我国北方地区发病率较高[4]。此 病主要通过黏膜、破溃皮肤或食 用污染食物传染,常见症状为发 热、出汗、关节疼痛、肌肉疼 痛等[5]。病理主要为布鲁氏杆菌 进入人体后随血液流向身体各部 位,干其停留处侵犯对应组织、 器官, 若落于脊柱则形成脊柱 炎<sup>[6]</sup>。

由布鲁氏杆菌引起的脊柱炎 一般侵犯腰椎, 相邻椎体受累的 情况也较常见,最多可现三个连 续椎体受累,单一椎体与跳跃式 受累较少见[7]。本组研究结果显 示,80%以上布鲁杆菌脊柱炎患者 病变部位集中于腰椎, 其次为腰 骶与胸椎,与此前文献报道结果 基本吻合[8]。与脊柱结核相比, 其受累椎体数目较少,病变范围 具有一定局限性。布鲁氏杆菌属 Ⅳ型变态反应, 其病理为渗出、 增生以及干酪样坏死, 骨质遭受 破坏后以产生不规则的新骨,骨 质修复增生速度快,大于骨质破 坏速度,因此在椎体边缘会产生 大量骨赘,增生性反应明显,死 骨较少, 这是布鲁杆菌脊柱炎的 最大特点<sup>[9]</sup>。MRI中信号特征为 T1WI低信号, T2WI高信号。

在布鲁杆菌脊柱炎椎旁、椎 管内病变的研究中可发现, 椎旁 脓肿处信号较均匀,边界不清 楚, T2WI信号偏高。本组中椎内 及椎旁脓肿病例均较低, 其中硬 膜外脓肿MRI影像中,相邻硬脊 膜受累增厚,但脓肿范围小,增 强扫描未见强化信号。在本研究 中,还显示9例轻度椎间盘狭窄, 15例椎间盘局限性破坏,椎间盘 破坏病例显示T1不均匀信号、T2 不均匀高信号, 椎间盘受累不明 显,与脊柱结核有明显差异。另 在椎体破坏部位观察中显示布鲁 杆菌脊柱炎对椎体后侧的破坏性 较大, 与脊柱结核相比明显偏 高。

因此, 脊柱结核通常为椎体 前侧破坏, 椎间盘多呈弥散性破 坏,并伴有椎间隙狭窄,通常有 死骨形成,脓肿范围也较广泛。 而布鲁杆菌脊柱炎则有骨质增生 明显, 椎体后侧破坏较多的特 点。在应用MRI对两种进行两种疾 病鉴别诊疗时,应结合病变椎体 与周围组织受累情况、扫描信号 变化做出准确判断, 为患者及时 治疗提供帮助。

#### 参考文献

- [1] 马远征, 重视脊柱结核提高 诊疗水平[J]. 中国防痨杂 志, 2013, 35(5): 297-298.
- [2] 董帅, 白皓天, 李媛冰, 等. 布鲁 氏菌性脊柱炎的影像学表现 及其治疗[J]. 中国老年学杂 志, 2014, 34(8): 2310-2311, 2312.
- [3] 赵林伟, 董国礼, 张小明, 等. MR I 对诊 断脊柱结核的价值探计[J]. 实用放 射学杂志, 2011, 27(6): 907-911.
- [4]章鹏,杨新明,孟宪勇,等.布 鲁杆菌性脊柱炎的诊断和治 疗进展[J]. 中国脊柱脊髓杂 志, 2013, 23(11): 1029-1032.
- [5] 王金河,李红,田梅,等.布鲁杆 菌脊柱炎误诊为脊柱结核21 例临床分析[J].临床误诊误 治,2015,28(8):45-48.
- [6] 杨新明, 石蔚, 杜雅坤, 等. 布氏杆 菌性脊柱炎临床影像学表现及 外科治疗[J]. 中国矫形外科杂 志, 2007, 15(19): 1463-1466.
- [7]于天松,刘玉春,袁晨,等.布鲁菌性 脊柱炎与脊柱结核MRI表现[J].实 用放射学杂志, 2010, 26(7):1066-1067, 1074.
- [8] 楚戈, 张宏其, 黄佳, 等. 布鲁菌性 脊柱炎与脊柱结核临床影像学 表现的对比[J]. 中华传染病杂 志, 2015, 33(6): 335-338.
- [9] 吴伟, 刘博, 刘昭, 等. MRI在布 鲁氏脊柱炎与脊柱结核鉴别诊 断中的价值[J]. 中国美容医 学, 2012, 21(8):140-141.

(本文编辑: 刘龙平)

【收稿日期】2016-06-09